

Revista de Toxicología

ISSN: 0212-7113 revista@aetox.es

Asociación Española de Toxicología España

Cuñat Zaira, A; Ruiz, MJ
Ensayos de ecotoxicidad de los fármacos y efectos tóxicos en el medio ambiente:
Revisión
Revista de Toxicología, vol. 33, núm. 2, 2016, pp. 108-119
Asociación Española de Toxicología
Pamplona, España

Disponible en: http://www.redalyc.org/articulo.oa?id=91949104007



Número completo

Más información del artículo

Página de la revista en redalyc.org



Ensayos de ecotoxicidad de los fármacos y efectos tóxicos en el medio ambiente: Revisión

Cuñat Zaira A, Ruiz MJ^{a1}

^aLaboratorio de Toxicología, Facultat de Farmàcia, Universitat de València, Av. Vicent Andres Estelles, s/n, 46117, Burjassot, Valencia, España.

Resumen: Los residuos de medicamentos suponen un grave problema medioambiental por su excesivo consumo. La exposición de residuos de medicamentos en los sistemas acuáticos y terrestres en concentraciones que van desde los ng/L hasta los mg/L afectan a las especies de dichos ecosistemas. Los efectos adversos varían en función del tipo de medicamento, la sensibilidad de las especies, las concentraciones a las que se exponen y el tiempo que dura la exposición. Estos efectos los producen los residuos de medicamentos, los metabolitos formados y/o los productos de degradación que en algunas ocasiones proporciona sustancias más tóxicas que el compuesto original. Este trabajo revisa y recopila la información sobre los ensayos de ecotoxicidad de los residuos de los fármacos considerando las diferentes vías de entrada en el medio ambiente, su destino y la toxicidad aguda, a medio y a largo plazo que producen en las especies más relevantes de los sistemas acuáticos y terrestres.

Palabras clave: residuos de medicamentos, ensayos de ecotoxicidad, sistema acuático, suelo.

Abstract: Ecotoxicity trials of drugs and toxic effects on the environment: Review.

Pharmaceutical residues have become a serious problem for the environment due to its large consumption by population. Tons of residues of pharmaceuticals in concentrations ranging from ng/L up to mg/L reach aquatic and terrestrial systems, affecting thousands of species. Pharmaceutical residues have diverse side effects on these ecosystems depending on the type of pharmaceutical, the sensitivity of affected specie, concentrations of compound and time of exposure. Even, higher environmental problems can became when metabolites and/or degradation products produced in these ecosystems have higher toxicity than the original compounds. This paper is a revision about the information related to aquatic and terrestrial ecotoxicity studies considering route of exposition for pharmaceutical residues, their destination and toxic effects, as acute as medium-term and long-term toxicity, in the most relevant aquatic and terrestrial systems' species.

Keywords: Pharmaceutical residues, ecotoxicity studies, aquatic system, soil.

Introducción

Debido al amplio consumo de medicamentos por la población a nivel mundial, gran cantidad de residuos de medicamentos se liberan diariamente al medioambiente (Figura 1). En el medio ambiente los fármacos pueden fotodegradarse o biotransformarse microorganismos, pudiendo formar metabolitos más tóxicos que el compuesto original. Otros medicamentos no se degradan e incluso intercambiar entre los diferentes compartimentos medioambientales (sistema terrestre, acuático, aire y biota) en función de sus propiedades y las condiciones ambientales (Kummerer, 2004; Fent et al., 2006; Zuccato et al., 2006). Por este motivo, es necesario conocer la naturaleza de los diferentes residuos de medicamentos y evaluar su impacto medioambiental.

Por otra parte, los residuos de medicamentos producen diferentes efectos adversos dependiendo del tipo de medicamento, la concentración, el tiempo de exposición y la sensibilidad de los organismos expuestos (Kummerer, 2004; Caliman y Gavrilescu, 2009; Ruiz y Font, 2011; Gottschall et al, 2012). Además, la

persistencia de algunos medicamentos favorecen la acumulación en organismos vivos (Arnold et al, 2014; Schmidt y Redshaw, 2015).

El sistema acuático es el compartimento ambiental más susceptible. Las Estaciones de Depuración de Aguas Residuales (EDAR) son la entrada principal de los residuos de medicamentos y sus conjugados en el medio ambiente (Zuccato et al, 2006). Si su eliminación no es adecuada pueden alcanzan las aguas superficiales, las aguas subterráneas y acceder a los seres vivos por diferentes vías (Kummerer, 2004; Santos et al, 2010).

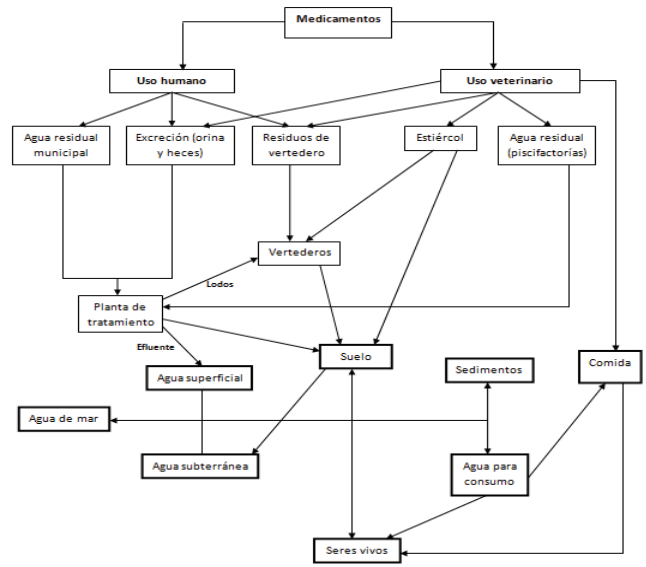


Figura 1 Entradas y destino de los fármacos en el medio ambiente (Adaptada de: Kummerer, 2004; Santos et al. 2010).

Efectos de los residuos de medicamentos en el medio ambiente

Para determinar los efectos de los residuos de los medicamentos en el medio ambiente se realizan estudios de ecotoxicidad aguda, a medio y a largo plazo en diferentes especies representativas de los diferentes niveles tróficos de los ecosistemas acuático y terrestre.

Dada la gran variedad de grupos de fármacos, en este estudio nos centramos en los fármacos que actúan sobre el sistema nervioso central tales como analgésicos, antiepiléticos y antidepresivos; sobre el sistema hormonal, estrógenos y andrógenos, y sobre los antibióticos.

Analgésicos no opiáceos

Los analgésicos no opiáceos presentan movilidad elevada en suelos pobres en materia orgánica ya que poseen una $K_{\rm ow}$ entre 3 y 5 y una $K_{\rm oc}$ entre 2 y 3, mientras que suelos con elevado contenido de arcilla favorecen una mayor degradación de los analgésicos (Pal et al, 2010; Ruiz y Font, 2011; Carter et al, 2014).

La toxicidad aguda de los analgésicos no opiáceos se ha demostrado en los diferentes niveles tróficos, causando mayor toxicidad en el ecosistema acuático que terrestre (Tabla 1) (Fent et al, 2006; Ruiz y Font, 2011). El rango de toxicidad aguda en ecosistemas acuáticos varía: entre 0,19 mg/L (IC50 en *Dunaliella tertiolecta*) y 71,9 mg/L (IC50 en *Desmodesmus subspicatus*) para el diclofenaco; entre 1,65 mg/L (IC50 en *Hydra attenuata*) y 315 mg/L (IC50 en *D. subspicatus*) para el ibuprofeno; entre 0,33 mg/L (IC50 en *Ceriodaphnia dubia*) y >320 mg/L (IC50 en *D. subspicatus*) para el naproxeno; y entre 26,6 mg/L (IC50 en *Daphnia magna*) y 3780 mg/L (LC50 en *Danio rerio*)

^{*}e-mail: m.jose.ruiz@uv.es

Tabla 1. Ensavos de ecotoxicidad y efectos adversos de los analgésicos no opiáceos.

Fármaco	Compto. ambiental	Organismo	Parámetro (exposición)	Efecto adverso	Referencia			
			Ceriodaphnia dubia	NOEC: 1000 μg/L (7 d);	Sobre la reproducción			
			LOEC: 2000 μg/L (7 d)	Inmovilización				
		Danhuia masua	EC ₅₀ : 22,7 mg/L (48 h)	Inmovilización				
		Daphnia magna	EC ₅₀ : 22,4 mg/L (48 h) NOEC: 4000 µg/L (10	Illillovilizacion				
		Danio rerio	d); LOEC: 8000 μg/L (10 d)	Sobre la supervivencia	0 1 (2010)			
	Acuático	Desmodesmus subspicatus	EC ₅₀ : 71,9 mg/L (-)	Inhibición del crecimiento	Santos et al (2010)			
Diclofenaco		Dunaliella tertiolecta	EC ₅₀ : 185,7 μg/L (96 h)	Inhibición del crecimiento				
		Lemna minor	EC ₅₀ : 7,5 mg/L (7 d)	Inhibición del crecimiento				
		Oncorhynchus mykiss Pseudokirckneriella	LOEC: 1 μg/L (-)	Citopatología de riñón, hígado y branquias				
		subcapitata	NOEC: 10 μg/L (96 h); LOEC: 20 μg/L (96 h))	Inhibición del crecimiento				
		O. mykiss	LOEC: 5 μg/L (-)	Alteraciones histológicas de riñón y branquias	Corcoran et al, 2010			
		Eisenia foetida	LC ₅₀ : 90,49 mg/kg (-)	Mortalidad	Pino et al (2015)			
	Terrestre	Raphanus sativus	Sin datos	Sobre la germinación y el crecimiento	Schmidt y Redshaw (2015			
		Lactuca sativa	Sin datos	Efectos en germinación				
		D. rerio	$LOEC > 10 \mu g/L (-)$	Anomalías cardiovasculares				
		O. mykiss	LOEC 1 mg/L (-)	Alteración de la regulación iónica	Corcoran et al, 2010			
			EC ₅₀ : 10-100 mg/L (48 h)	Inmovilización				
Ibuprofeno	Acuático	Acuático	ofeno Acuático	eno Acuático	Acuático	EC ₅₀ : 13,4 mg/L (14 d)	Sobre la reproducción	
-		D. magna	NOEC: 20 mg/L (14 d) LOEC: 80 mg/L (14 d)	Sobre la supervivencia	Santos et al (2010)			
			LOEC: 20 mg/L (14 d)	Sobre el crecimiento de la población				
		D. subspicatus	EC ₅₀ : 315 mg/L (-)	Inhibición del crecimiento				
	Acuático		Hydra attenuata	LC ₅₀ : 22,36 mg/L (96 h) EC ₅₀ : 1,65 mg/L (96 h) NOEC: 0,1 mg/L (96 h) LOEC: 1 mg/L (96 h)	Sobre la morfología			
			EC ₅₀ : 3,85 mg/L (96 h)	Sobre la alimentación				
		Acuático	L. minor	EC ₅₀ : 22 mg/L (7 d)	Inhibición del crecimiento	Santos et al (2010)		
Chunyofono		Oryzias latipes	LC ₅₀ >100 mg/L (96 h)	Mortalidad				
Ibuprofeno		Planorbis carinatus	LC ₅₀ : 17,1 mg/L (72 h) NOEC: 1,02 mg/L (21 d) LOEC: 2,43 mg/L (21 d)	Sobre la supervivencia Sobre el crecimiento				
		T. platyurus	LC ₅₀ : 19,59 mg/L (24 h)	Mortalidad				
Ī	T	E. foetida	LC ₅₀ :64,80 mg/kg (-)	Mortalidad	Pino et al (2015)			
	Terrestre	R. sativus	Sin datos	Sobre la germinación	Schmidt y Redshaw (2015			
		L. sativa	Sin datos	Sobre la germinación	Schillidt y Redshaw (2013)			
		B. calyciflorus	EC ₅₀ : 0,56 mg/L (48 h)	Inhibición del crecimiento				
		C. dubia	EC ₅₀ : 0,33 mg/L (7 d)	Inhibición del crecimiento				
		D	EC ₅₀ : 66,37 mg/L (24 h)	Inmovilización				
		D. magna	EC > > 220 mg/L (24 h)	Inmovilización Inhibición del crecimiento				
		D. subspicatus	EC ₅₀ >320 mg/L (48 h) LC ₅₀ : 22,36 mg/L (96 h)	inimoleton del crecimiento				
Naproxeno	Acuático	Hydra attenuata	EC ₅₀ : 22,50 mg/L (96 h) EC ₅₀ : 2,62 mg/L (96 h) NOEC: 1 mg/L (96 h) LOEC: 5 mg/L (96 h)	Sobre la morfología	Santos et al (2010)			
			EC ₅₀ : 2,68 mg/L (96 h)	Sobre la alimentación				
		L. minor	EC ₅₀ : 24,2 mg/L (48 h)	Inhibición del crecimiento				
].		P. subcapitata	EC ₅₀ : 31,92 mg/L (72 h)	Inhibición del crecimiento				
	Terrestre	R. sativus	Sin datos	Sobre la germinación	0.1 11 P. 11 (0.15)			
		L. sativa	Sin datos	Sobre la germinación	Schmidt y Redshaw (2015)			
Daracatamal		D. rerio	LC ₅₀ : 378 mg/L (48 h) EC ₅₀ : 30,1 mg/L (48 h)	Mortalidad Inmovilización				
Paracetamol	Acuático	D. magna	EC ₅₀ : 30,1 mg/L (48 h) EC ₅₀ : 26,6 mg/L (96 h)	Inmovilización	Santos et al (2010)			
		O. latipes	LC ₅₀ >160 mg/L (48 h)	Mortalidad				
Paracetamol		Tetrahymena pyriformis	EC ₅₀ : 112 mg/L (48 h)	Inhibición del crecimiento				
aracetamol	Terrestre	E. foetida	LC ₅₀ : 693,50 mg/kg (-)	Mortalidad	Pino et al (2015)			

Compto.: compartimento; EC_{50} : Concentración que produce el efecto en el 50% de la población; LC_{50} : Concentración que produce mortalidad en el 50% de la población; LOEC: Concentración mínima con efecto observable; NOEC: Concentración máxima sin efecto observable.

para el paracetamol. La mayoría de los analgésicos no opiáceos tales como el ibuprofeno, el ácido mefenámico o el paracetamol son persistentes a la fotólisis, hidrólisis y biodegradación. En aguas superficiales y efluentes de las EDAR se ha evidenciado la presencia de paracetamol (Santos et al, 2010; Ruiz y Font, 2011). Mientras que el naproxeno se degrada por fotolisis o metaboliza a través de microorganismos en 8 días, teniendo una vida media en agua inferior a una hora (Nikolaou et al, 2007; Pal et al, 2010).

Los principales efectos adversos observados en los organismos del ecosistema acuático son inmovilización, inhibición del crecimiento y muerte (Tabla 1).

Los efectos a largo plazo sobre la reproducción y bioacumulación (hígado, riñón, músculo y branquias) se observan principalmente en crustáceos y peces (Tabla 1). El rango de concentración máxima sin efecto observable (NOEC) varía entre 10 µg/L (*Pseudokirckneriella subcapitata*) para el diclofenaco y 20 mg/L para el ibuprofeno (*Daphnia magna*). El ibuprofeno, altera la reproducción del pez *Oryzias latipes* por inhibición de la vitelogenina (Santos et al, 2010; Ruiz y Font, 2011). La toxicidad crónica de este fármaco se debe principalmente a sus metabolitos (80% del compuesto original se transforma en hidroxibuprofeno y carboxibuprofeno) que son más tóxicos que el compuesto original (Ruiz y Font, 2011).

En sistemas terrestres, únicamente se dispone de datos de toxicidad aguda (Tabla 1), observándose alteración del crecimiento y de la germinación en plantas por su absorción radicular y muerte en gusanos de tierra (Carter et al, 2014; Pino et al, 2015). Se ha demostrado que los analgésicos no opiáceos no alteran la fotosíntesis de las plantas, pero aumentan la capacidad de absorción de nutrientes por la planta (Schmidt y Redshaw, 2015).

Antiepilépticos: Carbamazepina

La carbamazepina es uno de los antiepilépticos más consumidos. En las EDAR tiene una tasa de eliminación inferior al 10%, lo que favorece su distribución en el medio ambiente en concentraciones elevadas (Fent et al, 2006; Ruiz y Font, 2011). Por ello, gran cantidad de estudios de ecotoxicidad se realizan con este antiepiléptico.

Las características de la carbamazepina, una Kow de 2,5, una Koc de 3,6 y baja solubilidad en agua (< 20 mg/L) hace que sea persistente en el medio ambiente al disminuir su movilidad, especialmente en ecosistemas con elevada proporción de materia orgánica (Caliman y Gravilescu, 2009; Monteiro y Boxall, 2009; Pal et al, 2010; Ruiz y Font, 2011).

Como se observa en la Tabla 2, la carbamazepina causa una toxicidad aguda en ecosistemas acuáticos que varía entre 3,76 mg/L (IC50 en *Hydra attenuata*) hasta >100 mg/L (IC50 en *D. magna*) y una toxicidad crónica, expresada en NOEC que varía desde 25 µg/L (*C. dubia*) hasta 27,4 mg/L (*P. subcapitata*). Los principales efectos que este fármaco produce sobre las especies acuáticas van desde estimulación y maduración prematura en algunas especies de crustáceos hasta inhibición del crecimiento en algas, alteración del aporte de nutrientes, daños digestivos, sobre las branquias, el sistema inmunológico y muerte en crustáceos y peces (Tabla 2).

Respecto a la toxicidad en organismos terrestres, se dispone únicamente de datos sobre ensayos a medio y largo plazo (Tabla 2). Se ha observado que la carbamazepina puede ser absorbida por gusanos terrestres (*E. foetida*) y plantas (*calabacín, Cucurbita peto*) y afecta a algunos artrópodos (*Folsomia candida*). Se acumula en el agua intersticial y su absorción depende del tipo de suelo y de la

Tabla 2. Ensayos de ecotoxicidad, parámetros y efectos adversos de la carbamazepina.

Compto. ambiental	Especie	Parámetro (exposición)	Efecto adverso	Referencia	
		LOEC: 25 μg/L (-)	Sobre la reproducción	Christen et al, 2010	
	Ceriodaphnia dubia	NOEC: 25 μg/L (7 d) LOEC: 100 μg/L (7d)	Sobre la reproducción	Santos et al, 2010	
		EC ₅₀ : 77,7 mg/L (10 d)	Sobre la supervivencia		
	Chlorella vulgaris	EC ₅₀ : 37 mg/L (48 h)	Inhibición del crecimiento	Donner et al, 2013	
	Daphnia magna	EC ₅₀ : 76,3 mg/L (96 h) EC ₅₀ :>100 mg/L (48 h)	— Inmovilización	Santos et al, 2010	
	Daphnia magna	LOEC: 12,7 mg/L (-)	Inhibición del crecimiento	Fent et al, 2006	
	Danio rerio	NOEC: 25 mg/L (10 d) LOEC: 50 mg/L (10 d)	Sobre la supervivencia	Santos et al, 2010	
	Desmodesmus subspicatus	EC ₅₀ : 74 mg/L (-)	Inhibición del crecimiento	Santos et ai, 2010	
Acuático	Dreissena polymorpha	EC ₅₀ : 5,1-6,8 mg/L (-)	Citotoxicidad celular (hemocitos, glándulas digestivas y células de las branquias)	Donner et al, 2013	
	Gammarus pulex	LOEC: 10 ng/L (-)	Comportamiento		
	Hydra attenuata	EC ₅₀ : 15,5 mg/L (96 h) LC ₅₀ : 29,4mg/L (96 h) NOEC: 1mg/L (96 h) LOEC: 5 mg/L (96 h)	Sobre la morfología	Santos et al, 2010	
		EC ₅₀ : 3,76 mg/L (96 h)	Sobre la alimentación		
	Oncorhynchus mykiss	LOEC: 1 µg/L (21 d)	Citopatología en riñón		
	Oncornynenus mykiss	LOEC: >100 μg/L (21 d)	Citopatología en hígado		
	Oryzias latipes	LC ₅₀ : 35,4 mg/L (48 h)	Mortalidad		
	Pseudokirchneriella subcapitata	NOEC: 27,4 mg/L (48 h) LOEC: 40 mg/L (48 h)	Inhibición del crecimiento	Donner et al, 2013	
	Vibrio fischeri	NOEC: 5,59 mg/L (5 - 30 min) LOEC: 8,16 mg/L (5 - 30 min)	Inhibición de la luminiscencia		
	Cucumbita note	LOEC: >4 mg/kg (-)	Necrosis	Carter et al, 2015	
	Cucurbita peto	LOEC: 8-10 mg/kg (-)	Descenso de la fotosíntesis	Carter et al, 2015	
errestre		LOEC: 0,04 mg/kg (48 h)	Comportamiento de evasión		
	Folsomia candida	LOEC: 4 mg/kg (96 h)	Peroxidación lipídica	Oliveira et al, 2015	
		LOEC: 40 mg/kg (96 h)	Alteración de la enzima GST	_ ′	

Compto.: compartimento; EC₅₀: Concentración necesaria para producir el efecto en el 50% de la población; GST: Glutatión-S-transferasa; LC₅₀: Concentración que produce mortalidad en el 50% de la población; LOEC: Concentración mínima con efecto observable; NOEC: Concentración máxima sin efecto.

concentración del fármaco (Carter et al, 2014).

Antidepresivos

Entre los diferentes grupos de antidepresivos destacan los inhibidores selectivos de la recaptación de la serotonina (ISRS) por su elevado consumo en las últimas décadas. Los estudios de ecotoxicidad se centran en estos fármacos cuyos coeficientes K_{ow} y K_{oc} superiores a 4 les confieren un comportamiento lipofílico, elevada persistencia y absorción en la materia orgánica del suelos y sedimentos, dificultando su acceso a las aguas subterráneas (Oakes et al, 2010; Silva et al, 2012; Di Poi et al, 2014). Además, su resistencia a la hidrólisis, fotólisis y biodegradación (debido a su reducida biodisponibilidad en los microorganismos) favorecen su persistencia durante largo tiempo (Monteiro y Boxall, 2009; Ruiz y

Font, 2011). Algunos antidepresivos, como la fluoxetina que se encuentran normalmente en forma catiónica, en el suelo se une a las partículas cargadas negativamente dificultándose su eliminación (Monteiro y Boxall, 2009).

Los ISRS causan toxicidad aguda y crónica a especies de diferentes niveles tróficos de ecosistemas acuáticos y terrestres, ya que la serotonina (que regula sus sistemas fisiológicos y diversas funciones endocrinas) puede bioacumularse (Oakes et al, 2010; Ruiz y Font, 2011; Silva et al, 2012). Según se muestra la Tabla 3, el rango de toxicidad aguda en ecosistemas acuáticos varía entre 12,10 μg/L (IC₅₀ en *Pseudokirckneriella subcapitata*) para la sertalina y 191,5 mg/L (IC₅₀ en *Crassostrea gigas*) para la fluoxetina. El rango de la NOEC varía entre 0,47 μg/L para la fluoxetina (*Potamorpygus antipodarum*)

Tabla 3. Ensavos de ecotoxicidad en organismos acuáticos y terrestres y efectos adversos de los antidenresivos

Fármaco	Compto. ambiental	Especie	Parámetro (exposición)	Reacción adversa	Referencia				
		Danio reiro	LOEC: 1 μg/L (-)	Reducción del cortisol	Abreu et al, 2014				
	•	G	LOEC: 36 μg/L (-)	Estimulación de la reproducción					
		Ceriodaphnia dubia	LOEC: 56 μg/L (-)	Alteración de la fecundación	Christen et al, 2010				
	•		LOEC: 100 mg/L (-) EC ₅₀ : 187,9 mg/L (-)	Sobre la metamorfosis (larvas)	D: D-: -4 -1 2014				
		Crassostrea gigas	LOEC: 150 mg/L (-) EC ₅₀ : 191,5 mg/L (-)	Sobre el desarrollo (larvas)	— Di Poi et al, 2014				
		Artemia salina	EC ₅₀ : 13,8 mg/L (48 h)	Inmovilización	_				
		C. gigas	EC ₅₀ : 188 μg/L (24 h)	Sobre la metamorfosis	_				
		C. gigus	EC ₅₀ : 192 μg/L (36 h)	Sobre el embrión	_				
		Daphnia magna	EC ₅₀ : 5,9 mg/L (48 h)	Inmovilización	Minguez et al, 2014				
		Hydra attenuata	EC ₅₀ : 7,94 mg/L (96 h)	Supervivencia del adulto	_				
Fluoxetina	Acuático	11yara unenuana	EC ₅₀ : 8,68 mg/L (96 h)	Regeneración de los pólipos	_				
		Pseudokirchneriella subcapitata	EC ₅₀ : 200 μg/L (72 h)	Inhibición del crecimiento					
		Skeletonema marinoi	EC ₅₀ : 43 μg/L (72 h)	Inhibición del crecimiento	_				
		C. dubia	LC ₅₀ : 234 µg/L (48 h)	Mortalidad					
		Daphnia magna	NOEC: 8,9 μg/L (21 d) LOEC: 31 μg/L (21 d)	Sobre la longitud del recién nacido	_				
			LC ₅₀ : 820 μg/L (48 h)	Mortalidad	Santos et al, 2010				
		Dunaliella tertiolecta	EC ₅₀ : 169,81 μg/L (96 h)	Inhibición del crecimiento					
		C	LOEC: 100 ng/L (-)	Sobre el comportamiento	- -				
		Gammarus pulex	LC ₅₀ : 546 μg/L (7 d)	Mortalidad					
		Hyallela azteca	NOEC: 33 μg/L (28 d) LOEC: 100 μg/L (28 d)	Sobre el crecimiento	_				
	Acuático	Pimephales promelas	LC ₅₀ : 705 μg/L (48 h)	Mortalidad	<u></u>				
			Potamorpygus antipodarum	NOEC: 13 μg/L (-) LOEC: 69 μg/L (-)	Sobre la reproducción				
		r otamorpygus unupoaarum	EC ₁₀ : 0,81 μg/L (56 d) NOEC: 0,47 μg/L (56 d)	Embriones sin cascara	Santos et al, 2010				
						Pseudokirckneriella	IC ₅₀ : 44,99 μg/L (96 h)	Inhibición del crecimiento	_
			subcapitata	EC ₅₀ : 24 μg/L (120 h)	Sobre el crecimiento				
		Scenedesmus acutus	IC ₅₀ : 91,23 μg/L (96 h)	Inhibición del crecimiento					
		Scenedesmus. Quadricauda	IC ₅₀ : 212,98 μg/L (96 h)	Inhibición del crecimiento					
		Chironomus riparius	LOEC: 5,60-5,86 mg/kg (-)	Aumento de la producción de huevos	_				
			LOEC: 1,3 - 1,4 mg/kg (10 d)	Inhibición del crecimiento					
		Chironomus tentans	LC ₅₀ : 15,2 mg/kg (10 d)	Mortalidad	_				
Fluoxetina			LOEC: 5,4 mg/kg (10 d)	Inhibición del crecimiento	_				
			LC ₅₀ : 43,2 mg/kg (10 d)	Mortalidad	_				
		Hyallela azteca	NOEC: 0,10 mg/L (48 h) LOEC: 0,18 mg/L (48 h) EC ₅₀ : 1,3 mg/L (48 h)	Inmovilización					
	Sedimento		LC ₅₀ : 0,12 mg/L (21 d)	Mortalidad	Oakes et al, 2010; Sant				
	S	O. mykiss	LC ₅₀ : 0,38 mg/L (96 h)	Mortalidad	et al, 2010				
		P. subcapitata	IC ₅₀ : 12,10 μg/L (96 h)	Inhibición del crecimiento	_				
		Schoenoplectus acutus	IC ₅₀ : 98,92 μg/L (96 h)	Inhibición del crecimiento	_				
		Scenedesmus quadricauda	IC ₅₀ : 317,02 μg/L (96 h)	Inhibición del crecimiento	_				
		Tamnocephalus platyurus	LC ₅₀ : 0,6 mg/L (24 h)	Mortalidad	_				
		Vibrio fischeri	NOEC: 2,25 mg/L (30 min) LOEC: 4,5 mg/L (30 min) EC ₅₀ : 10,72 mg/L (30 min)	Inhibición de la luminiscencia	_				

		Ceriodaphnia dubia	LOEC: 9 μg/L (-)	Sobre la reproducción	Christen et al, 2010
		A. salina	EC ₅₀ : 4,08 mg/L (48 h)	Inmovilización	
		C. gigas	EC ₅₀ : 1,09 mg/L (24 h) EC ₅₀ : 67 µg/L (36 h)	Sobre la metamorfosis Sobre el embrión	
Sertalina	Acuático	Daphnia magna	EC ₅₀ : 07 μg/L (30 h) EC ₅₀ : 1,15 mg/L (48 h)	Inmovilización	
Sertanna	Acuatico	Hydra attenuata	EC ₅₀ : 1,71 mg/L (96 h) EC ₅₀ : 1,79 mg/L (96 h)	Supervivencia del adulto Regeneración de los pólipos	Minguez et al, 2014
		Pseudokirchneriella subcapitata	EC ₅₀ : 150 μg/L (72 h)	Inhibición del crecimiento	
		Skeletonema marinoi	EC ₅₀ : 67 μg/L (72 h)	Inhibición del crecimiento	
			NOEC: 0,032 mg/L (21 d) LOEC: 0,1 mg/L (21 d) EC ₅₀ : 0,066 mg/L (21 d)	Sobre la reproducción	
			D. magna	NOEC: 0,10 mg/L (48 h) LOEC: 0,18 mg/L (48 h) EC ₅₀ : 1,3 mg/L (48 h)	Inmovilización
			LC ₅₀ : 0,12 mg/L (21 d)	Mortalidad	
Sertalina	Acuático	O. mykiss	LC ₅₀ : 0,38 mg/L (96 h)	Mortalidad	Santos et al, 2010
Scrtanna	Acuatico	P. subcapitata	IC ₅₀ : 12,10 μg/L (96 h)	Inhibición del crecimiento	Santos et al, 2010
		Schoenoplectus acutus	IC ₅₀ : 98,92 μg/L (96 h)	Inhibición del crecimiento	
		Scenedesmus quadricauda	IC ₅₀ : 317,02 μg/L (96 h)	Inhibición del crecimiento	
		Tamnocephalus platyurus	LC ₅₀ : 0,6 mg/L (24 h)	Mortalidad	
		Vibrio fischeri	NOEC: 2,25 mg/L (30 min) LOEC: 4,5 mg/L (30 min) EC ₅₀ : 10,72 mg/L (30 min)	Inhibición de la luminiscencia	

Compto. Compartimento; EC₅₀: Concentración necesaria para producir el efecto en el 50% de la población; IC₅₀: Concentración que inhibe al 50% de la población; LC₅₀: Concentración que produce mortalidad en el 50% de la población; LOEC: Concentración mínima a la que se observa efecto; NOEC: Concentración máxima a la que se observa efecto.

y 2,25 mg/L para la sertalina (Vibrio fischeri).

La Tabla 3 muestra los diversos efectos que producen la fluoxetina y la sertalina en diferentes especies. Como se observa en la Tabla 3, los principales efectos de estos fármacos son la inhibición del crecimiento en algas, crustáceos o peces. Aunque también puede producir inmovilización en crustáceos (Santos et al, 2010; Ruiz y Font, 2011; Minguez et al, 2014). Estudios realizados sobre el pez cebra (*D. rerio*) demuestran que la fluoxetina puede alterar el comportamiento de las especies acuáticas, ya que actúa sobre la respuesta al estrés al reducir los niveles de cortisol. De esta forma, aumenta el riesgo de depredación y disminuye la socialización (Abreu et al, 2014).

También se han demostrado efectos en la reproducción de moluscos, bivalvos y crustáceos por malformaciones en el manto o en la cáscara y reducción de la frecuencia de la metamorfosis (Tabla 3).

Las especies asociadas a los sedimentos pueden sufrir los mismos efectos que las especies acuáticas, pero requieren concentraciones más elevadas (del orden de mg/Kg). La información disponible de la toxicidad en las especies de ecosistemas terrestres es muy reducida. Estudios realizados sobre poblaciones microbianas demostraron que la fluoxetina inhibe ligeramente la actividad microbiana a concentraciones de 32 mg/Kg (Oakes et al, 2010). Además, aunque se absorbe a nivel radicular por crucíferas (*Brassicaceae*) no produce efectos fitotóxicos (Carter et al, 2014).

Estrógenos

El estradiol (E2) y su derivado sintético, el 17α -etinilestradiol (EE2) son los estrógenos más relevantes en el medio ambiente; mientras que la estrona y el estriol requieren mayores concentraciones para producir efectos adversos en los ecosistemas. El E2 presenta solubilidad en torno a 13 mg/L (20°C) y una K_{ow} entre 3 y 4, mientras que la solubilidad del EE2 es de 4,8 mg/L (20°C) y similar K_{ow} (De Mes et al, 2005; Aris et al, 2014). El E2 puede degradarse fácilmente en el tratamiento secundario de las EDAR, pero el EE2, debido a su naturaleza sintética y características no polares, tiene mayor resistencia (De Mes et al, 2005; Aris et al, 2014). El E2 y el EE2 son degradados de forma efectiva (tras varios días) por fotólisis y por microorganismos (principalmente *Achromobacter xylosoxidans* y

Ralstonia picketii) (De Mes et al, 2005; Caliman y Gravilescu, 2009; Aris et al, 2014). La mineralización del E2 en CO₂ y H₂O en suelos es constante y aumenta con temperaturas altas y condiciones aeróbicas (Fan et al, 2007).

En la Tabla 4 se muestran los efectos que producen el E2 y el EE2 en algunas especies acuáticas tras exposiciones a medio y largo plazo, observándose los valores más bajos de NOEC (29 ng/L) en *Danio rerio, Oryzias latipes* y *Pimephales promelas* expuestos a E2 y los más bajos de LOEC (máxima concentración con efecto, LOEC= 0,2 ng/L) en *Gobiocypris rarus* tras 180 días de exposición a EE2 (Tabla 4).

Los principales efectos producidos por los estrógenos son la feminización e inducción de la vitelogenina en machos (causando cambios de sexo o especies intersexuales); cambios en el comportamiento sexual y en los caracteres sexuales secundarios como por ejemplo alteración de la coloración o aparición de rayas laterales en machos afectando el apareamiento con las hembras (Aris et al, 2014) (Tabla 4).

Entre los cambios de comportamiento causados por el EE2 en el pez aguja (*Syngnathus abaster*), además de cambios en la atracción (en los machos) o la maduración sexual, se observan cambios en la distribución bentónica con aproximación a la superficie del bentos en función de la dosis (Aris et al, 2014).

En los moluscos, el EE2 presenta toxicidad sin efectos letales sobre la reproducción del caracol de estanque (*Lymnaea stagnalis*) o caracol acuático neozelandés (*Potamopyrgus antipodarum*), reducción de la fecundidad y producción de huevos, aumento del número de huevos en una sola puesta e incremento de las malformaciones (Christen et al., 2010; Giusti et al, 2014). También se ha observado aumento de la vitelogenina mediante la exposición continua al EE2 en el mejillón (*Mytilus edulis*). Sin embargo, la exposición a EE2, en el caso de las ostras y dependiendo de la especie, causa aumento de la vitelogenina (*Saccostrea glomerata*) o ninguna sensibilidad (*C. gigas*) (Aris et al, 2014).

En los anfibios, la exposición al E2 y EE2 causa efectos adversos en la metamorfosis y maduración. En la rana africana de uñas (*Xenopus laevis*), la alteración de la metamorfosis varia la proporción de sexos; en los machos de rana rugosa causa aparición parcial o completa de

ovarios y en la rana leopardo (*Lithobates pipiens*) produce aumento de vitelogenina (con feminización por reducción de los túbulos seminíferos y aparición de ovocitos) (Orlando y Guillete, 2007; Aris et al, 2014). En reptiles, provoca cambio de sexo en tortugas (*Trachemys scripta*) y reducción de los caracteres sexuales en cocodrilos (*Alligator mississippiensis*) (Orlando y Guillete, 2007).

Por otra parte, la exposición a E2 y EE2 no causa efectos adversos

en macrófitos acuáticos como la lenteja de agua (*Lemna sp.*) incluso a concentraciones de 1.000 ng/L durante 6 días (Caldwell et al, 2012).

Andrógenos: testosterona

La hormona natural, la testosterona se metaboliza rápidamente en el hígado y por ello no se administra por vía oral. Una alternativa eficaz son los 17-alquil derivados como la 17α -metiltestosterona. La 17α -metiltestosterona tiene un comportamiento similar a los estrógenos

Tabla 4. Ensayos de ecotoxicidad en peces a medio y largo plazo tras la exposición a E2 y EE2 y efectos adversos producidos.

Fármaco	Organismo	Parámetro (exposición)	Reacción adversa	Referencia	
	_	LOEC: 40 ng/L (280 d)	Aumento de huevos no fértiles		
	Cyprinodon	LOEC: 80 ng/L (280 d)	Descenso en la frecuencia de reproducción		
	variegatus	LOEC: 300 ng/L (280 d)	Sobre el índice gonadosomático, feminización y disminución de la descendencia		
	Danio rerio	NOEC: 29 ng/L (21 d) LOEC: 85 ng/L (21 d)	Sobre los niveles de vitelogenina y caracteres sexuales secundarios	Caldwell et al, 2012	
		LOEC: 272 ng/L (42 d)	Feminización de la descendencia.		
	0 :	LOEC: 16 ng/L (6 meses)	Descenso en la fecundidad		
170 4 11 1	Oryzias javanicus	LOEC: 68 ng/L (6 meses)	Aumento de la vitelogenina		
17β-estradiol (E2)	javanicus	LOEC: 159 ng/L (6 meses)	Inhibición de caracteres sexuales secundarios (femeninos)		
(E2)		LOEC: < 26,3 ng/L (21 d)	Inducción de gónadas intersexuales		
	Oryzias	LOEC: 33,5 ng/L	Aumento de longitud y peso corporal	Santos et al, 2010	
	latipes	NOEC: 29 ng/L (21 d) LOEC: 85 ng/L (21 d)	Sobre los niveles de vitelogenina y caracteres sexuales secundarios	Caldwell et al, 2012	
		LOEC: 140,6 ng/L (20 d)	Transformación de las gónadas		
		LOEC: 4 ng/L (-)	Feminización		
	Pimephales promelas	NOEC: 29 ng/L (21 d) LOEC: 85 ng/L (21 d)	Sobre los niveles de vitelogenina y caracteres sexuales secundarios	Christen et al, 2010 Caldwell et al, 2012	
		LOEC: > 100 ng/L	Sobre el índice gonadosomático		
		LOEC: 2 ng/L (38 DDE)	Inducción de la vitelogenina	Santos et al, 2010	
17α- etinilestradiol		LOEC: 2 ng/L (90 DDE)	Aumento de feminización, mortalidad y huevos inmaduros.	Christen et al, 2010 Caldwell et al, 2012 Aris et al, 2014	
(EE2)	D. rerio	LOEC: 2 ng/L (180 DDE)	y/L (180 DDE) Malformaciones en testículos y conductos seminales		
	D. reno	LOEC: 10 ng/L (21 DDE)	Aumento de vitelogenina	Caldwell et al, 2012	
		LOEC: 10 ng/L (90 DDE)	Descenso de longitud y peso. Gónadas indefinidas. Aumento de mortalidad	Santos et al, 2010 Aris et al, 2014	
		LOEC: 25 ng/L (48 h)	Sin producción de huevos	Aris et al, 2014	
	Gastrosteus aculeatus	LOEC: 53,7 ng/L (21 d)	Aumento de vitelogenina (machos)	71113 et al, 2014	
		LOEC: 170 ng/L (21 d)	Cambios en coloración (machos) Aumento vitelogenina (hembras)	Aris et al ,2014	
ľ	Gobiocypris rarus	LOEC: 0,2 ng/L (180 DDE)	Descenso de fecundidad y puesta de huevos		
		LOEC: 3,6 ng/L (21 d)	Descenso en la puesta y eclosión de huevos	Caldwell et al, 2012	
		LOEC: 4 ng/L (-)	Feminización		
ľ		LOEC: 10 ng/L (-)	Sobre la fecundidad y la fertilidad	Christen et al, 2010	
17α- etinilestradiol	O. latipes	LOEC: 10 ng/L (2 meses)	Inducción de aromatasa y feminización (machos) Reducción del índice gonadosomático y puesta de huevos (hembras)		
(EE2)	,	LOEC: 100 ng/L (2 meses)	Feminización (machos) Reducción del índice gonadosomático y ausencia de puesta de huevos (hembras)	Aris et al, 2014	
		LOEC: 1 ng/L (21 d)	Inducción de vitelogenina (machos y hembras) Sobre la ultraestructura de testículos e hígado	Santos et al, 2010	
	D 1	EC ₁₀ : 11 ng/L (46 d)	Sobre el crecimiento		
	P. promelas	LOEC: 27 ng/L (46 d)	Descenso de longitud y peso	Caldwell et al, 2012	
		LOEC: 81 ng/L (46 d)	Descenso de la eclosión del huevo. Malformaciones	Caidwell et al, 2012	
	Rutilus rutilus	LOEC: 4 ng/L (-)	Feminización		
17α-		LOEC: 5 ng/L (7 d)	Descenso de la vitelogenina		
etinilestradiol (EE2)	Salmo salar	LOEC: 50 ng/L (3-7 d)	Aumento de la vitelogenina		
. ,	Syngnathus abaster	LOEC: 8-36 ng/L (40 d)	Cambios en el comportamiento	Aris et al, 2014	
	Syngnathus scovelli	LOEC: 1-100 ng/L (10 d)	Desarrollo de rayas laterales (machos) Aumento del tiempo de cortejo (hembras)		

DDE: Días después de la eclosión; EC₁₀: Concentración necesaria para producir el efecto en el 10% de la población; LOEC: Concentración máxima con efecto observable; NOEC: Concentración mínima sin efecto observable.

naturales en los organismos del medio ambiente (Caliman y Gravilescu, 2009). Principalmente causa efectos en el comportamiento reproductivo y la fisiología. Especies de peces, como *Oreochromis mossambicus*, presentan masculinización en el 90% de la población con dosis entre 10 y 100 mg/Kg (durante 21 días), y casos de esterilidad y muerte con dosis superiores a 100 mg/Kg (Marjani et al, 2009). En el cangrejo de río (*Procambarus alleni*) se han observado efectos en la reproducción (concentraciones de 100 μg/L de 17α-metiltestosterona) tales como descenso del desarrollo embrionario, disminución de la eclosión y malformaciones en las crías (deformidades y pérdida de apéndices y antenas), así como porcentajes elevados de mortalidad (Vogt, 2007).

Los gasterópodos gonocóricos (de sexos separados) marinos como *Nucella lapillus*, *Hinia reticulate* e *Ilyanassa obsolete* presentan variaciones gonadales tras la exposición a la 17α-metiltestosterona, como puede ser el desarrollo de pene y/o conductos deferentes en las hembras (Leblanc et al, 2005). Sin embargo otros (*Lymnaea stagnalis*) no muestran efectos (Giusti et al, 2013).

Entre las especies terrestres afectadas se incluyen gasterópodos a los cuales la 17α -metiltestosterona provoca estimulación de la espermatogénesis (*Theba pisana* o caracol de tierra), incremento en el número de espermatocitos secundarios (*Helix promatia* o caracol romano) y la aparición de 'head-wart' (órgano en la cabeza capaz de producir feromonas) en *Euhadra peliomphala* (caracol endémico japonés). Otros gasterópodos, como *P. antipodarum*, tienen la capacidad de conjugar la testosterona con ácidos grasos apolares, de forma que pueden inactivarla y almacenarla (Leblanc et al, 2005).

Antibióticos

Los antibióticos constituyen son un grupo de fármacos de gran importancia medio ambiental, debido a su amplio espectro de acción y su elevado uso. Por su elevada solubilidad, los antibióticos se excretan hasta un 90% por orina en su forma original (Kemper, 2008; van der Grinter et al, 2010; Ruiz y Font, 2011).

En el medio acuático presentan elevada persistencia (con excepción de las tetraciclinas o las penicilinas). En el suelo, su movilidad, transporte y degradación son en función de las propiedades físico-químicas del antibiótico, del tipo de suelo o de las condiciones climáticas (Kumar et al, 2005; Thiele-Bruhn y Beck, 2005; Kemper, 2008). Las fluorquinolonas son los antibióticos más difíciles de biodegradar ya que se unen a las partículas de los sedimentos y del suelo; sin embargo, pueden degradarse por fotólisis (Kumar et al., 2005; Sarmah et al, 2006; Martínez, 2009).

Uno de los mayores problemas de la presencia de los antibióticos en el medio ambiente es el desarrollo de resistencias bacterianas (Kemper, 2008). Aunque se ha descubierto que son las bacterias intestinales las que mayor resistencia adquieren (Sarmah et al, 2006), cualquier población bacteriana expuesta a los antibióticos puede desarrollar genes de resistencia, tal y como se ha observado en bacterias de los géneros *Enterococcus, Staphylococcus, Klebsiella, Acinetobacter, Pseudomonas, Enterobacter* y *Escherichia* (Finley et al, 2013). La transmisión de resistencias se puede dar entre bacterias del mismo género, por ej., *Salmonella* (Martínez, 2009) o entre especies de diferentes géneros, como entre el género *Aeromonas* (patógenos de peces) y la *E. coli* que pueden transmitir y compartir las resistencias (Cabello, 2006).

El desarrollo de resistencias produce disminuir las defensas de determinadas especies del ecosistema y aumentar las de otras, alterando la selección gradual de las poblaciones microbianas (cambios en su densidad y su fisiología) o las características competitivas en el medio ambiente (cambios en las poblaciones) (Martínez, 2009; Finley et al, 2013).

Además, en los ecosistemas acuáticos, las especies están expuestas mezclas de antibióticos que pueden aumentar la toxicidad producida por los mismos de forma individual (González-Pleiter et al, 2013). Las especies especialmente sensibles a los antibióticos son los productores

primarios (cianobacterias o algas verdes) causando alteración de los procesos del ecosistema (Santos et al, 2010; van der Grinten et al, 2010; Bialk-Bielinska et al, 2011). Por el contrario, los rotíferos, crustáceos y peces son más resistentes a los antibióticos (Santos et al, 2010). La Tabla 5 muestras diversos efectos adversos que producen los antibióticos en algunas especies acuáticas.

Los beta-lactámicos son un grupo de antibióticos que inhiben principalmente la síntesis de la pared celular de las bacterias. Los efectos adversos de los beta-lactámicos sobre organismos acuáticos se muestran en la Tabla 5. En especies como *P. subcapitata*, concentraciones de 1500 mg/L de amoxicilina inhiben un 10% el crecimiento (Gonzalez-Pleiter et al, 2013).

Las fluorquinolonas son uno de los grupos de antibióticos más tóxicos que se encuentran en el medio ambiente (Ruiz y Font, 2011). Además de los efectos observados en la Tabla 5 se ha evidenciado clorosis en *L. minor* a concentraciones de 125 µg/L y actividad promotora del crecimiento en peces de la especie *P. promelas* con exposiciones de 10 mg/L de ciprofloxacino, levofloxacino y oxoflocacino (Robinson et al, 2005).

Otro grupo de antibióticos muy tóxico para las especies acuáticas son las sulfamidas, cuyos efectos varían en función del pH del medio (ya que las sulfamidas pueden cargarse positivamente en condiciones ácidas) (Bialk-Bielinska et al, 2011). Las sulfamidas pueden afectar al crecimiento de las algas verdes, su contenido y producción de clorofila (Tabla 5). Concentraciones bajas de sulfamidas inhiben la reproducción de *Scenedesmus vacuolatus* (EC50 entre 1,54 µg/L y 32,25 µg/L dependiendo de la sulfamida); y en las lentejas de agua (*L. gibba y L. minor*) inhiben la producción de clorofila b y del crecimiento (Tabla 5; Bialk-Bielinska et al, 2011; Ruiz y Font, 2011). También afectan a crustáceos, peces y bacterias, siendo las concentraciones necesarias superiores a las concentraciones encontradas en el medio ambiente (Tabla 5). Los peces junto con la *D. magna* son las especies menos sensibles a las sulfamidas con valores de LC50 superiores a 100 mg/L (Santos et al, 2010).

Efectos similares se han visto en el grupo de los macrólidos, ya que éstos afectan al crecimiento en diferentes niveles tróficos (algas, lentejas de agua, rotíferos y crustáceos entre otros), y produce inmovilización y muerte en crustáceos y rotíferos (Tabla 5). La eritromicina es un antibiótico con efecto tóxico sobre individuos de diferentes niveles tróficos del ecosistema acuático (González-Pleiter et al, 2013). Su DL $_{50}$ se encuentra en el rango de 5 µg/L (*Anabaena CPB4337*) hasta >100 mg/L (*O. latipes*) (Tabla 5). La tilosina presenta los mismos efectos a concentraciones diferentes (Tabla 5). El rango de toxicidad aguda observada varía de 0.0089 mg/L (*P. subcapitata*) hasta 680 mg/L (*D. magna*).

Las tetraciclinas también se encuentran en el medio acúatico y sus efectos sobre las diversas especies puede deberse al producto original, productos derivados o la combinación de ambos (Tabla 5; Ferreira et al, 2007).

En relación al trimetoprim, se ha evidenciado que inhibe la fotosíntesis y el crecimiento, causa inmovilización y efectos sobre la reproducción (Tabla 5). Además, en especies de crustáceos (*D. magna* y *M. macrocopa*) produce mortalidad a concentraciones inferiores a 1 mg/L (Santos et al, 2010).

Por otra parte, en el medio terrestre, las especies más afectadas son los microorganismos, produciendo principalmente alteraciones de su biomasa y actividad (Liu et al, 2009). Sin embargo los estudios sobre los efectos de los antibióticos son limitados y en ocasiones contradictorios, pues en algunos casos los antibióticos eliminan a los microorganismos, mientras que en otros aumentan su crecimiento y actividad (Thiele-Bruhn y Beck, 2005).

Las especies vegetales también son sensibles a los antibióticos, de forma que se ha observado que producen inhibición de la germinación y/o del crecimiento, aunque algunas especies, como el pepino (*Cucumis Sativus*) presenta mayor resistencia a antibióticos como la tilosina, las

Tabla 5. Ensayos de ecotoxicidad acuática y efectos adversos de los antibióticos.

abla 5. Ensayos o Tipo	de ecotoxicidad acuátic Fármaco	a y efectos adversos de los antibióti Parámetro (exposición)	Especie	Efecto adverso	Referencia
Про	1 at maco	EC ₁₀ : 6,16 mg/L (72 h)	Especie	Electo auverso	
D.		EC ₂₀ : 15,1 mg/L (72 h)	Anabaena CPB4337	Inhibición del crecimiento	González-Pleiter et a 2013
		EC ₅₀ : 56,3 mg/L (72 h) EC ₅₀ : 3,7 μg/L (72 h)	Mi ana anatia a amusinas a		
	Amoxicilina	ΕC50. 5,7 μg/L (72 II)	Microcystis aeruginosa		
Beta- actámicos		NOEC: 0,78 μg/L (-)	Synechococcus	Inhibición del crecimiento	Santos et al, 2010
		LOEC: 1,56 μg/L (-) EC ₅₀ : 2,22 μg/L (-)	leopoliensis		Ź
		EC50. 2,22 µg/L (-)			
	Bencilpenicilina	EC ₅₀ : 6 μg/L (-)	M. aeruginosa	Reducción de la frecuencia del	Santos et al, 2010
	-	EC ₅₀ : 203 μg/L (7 d)	Lemna minor	crecimiento Sobre la reproducción	
		, ,		Source la reproducción	-
	Ciprofloxacino	EC ₅₀ : 5-17 μg/L (5 d)	M. aeruginosa	Sobre el crecimiento y la	
		EC ₅₀ : 18,7 mg/L (3 d)	Pseudokirckneriella subcapitata	reproducción	P. 1.
		EC ₅₀ : 62 μg/L (7 d)	L. minor	Sobre la reproducción	Robinson et al, 200
				*	-
	Cinafloxacina	EC ₅₀ : 103 μg/L (5 d)	M. aeruginosa	Sobre el crecimiento y la reproducción	
		EC ₅₀ : 1,1 mg/L (3 d)	P. subcapitata	reproducción	
		EC ₅₀ : 114 μg/L (7 d)	L. minor	Sobre la reproducción	-
		EC ₅₀ : 49 μg/L (5 d)	M. aeruginosa	Sobre el crecimiento y la	Robinson et al, 200
		EC ₅₀ : 3,1 mg/L (3 d)	P. subcapitata	reproducción	
	Envelovesine	NOEC: 5 mg/L (21 d)		Colono la nomna divación	
	Enrofloxacino	LOEC: 15 mg/L (21 d)		Sobre la reproducción	Santos et al, 2010
		EC ₅₀ : 131,7 mg/L (24 h) EC ₅₀ : 56,7 mg/L (48 h)	Daphnia magna	Inmovilización	
		EC ₅₀ : 36,7 mg/L (48 n) EC ₅₀ : 11,47 mg/L (21 d)	-	Sobre la supervivencia	
		EC ₅₀ : 285,7 mg/L (24 h)	Moina macrocopa	Inmovilización	
	Levofloxacino	EC ₁₀ : 1,1 mg/L (72 h)	man ocopu	Inhibición del crecimiento	
		EC ₂₀ : 1,9 mg/L (72 h)	Anabaena CPB4337		González-Pleiter et a
		EC ₅₀ : 4,8 mg/L (72 h)			2013
		EC ₁₀ : 0,93 mg/L (72 h)			
		EC ₂₀ : 4,5 mg/L (72 h)	P. subcapitata Inhibició	Inhibición del crecimiento	González-Pleiter et a 2013
		EC ₅₀ : >120 mg/L (72 h)			2013
		EC ₅₀ : 51 μg/L (7 d)	L. minor	Sobre la reproducción	Robinson et al, 2005
Quinolonas		EC ₅₀ : 7,9 μg/L (5 d)	M. aeruginosa	Sobre el crecimiento y la	
	Levofloxacino	EC ₅₀ : 3,1 mg/L (3 d)	P. subcapitata	reproducción	
		NOEC: 31 μg/L (21 d)	1. suocupitata		_
		LOEC: 63 µg/L (21 d)	D. magma	Sobre la reproducción Inhibición del crecimiento Santo	
		EC ₅₀ : 340 μg/L (21 d) NOEC: 310 μg/L (96 h)			
		LOEC: 630 µg/L (96 h)	P. subcapitata		Santos et al, 2010
		EC ₅₀ : 1,2 mg/L (96 h)	•		
		LC ₅₀ : >100mg/L (96 h)	Oryzias latipes	N . 11.1	_
		LC ₅₀ : >100mg/L (24 h)	Thamnocephalus platyurus	Mortalidad	
		EC ₁₀ : 1,2 mg/L (72 h)	p tuty u. u.s		
		EC ₂₀ : 2,1 mg/L (72 h)	Anabaena CPB4337		González-Pleiter et a
		EC ₅₀ : 5,6 mg/L (72 h) EC ₁₀ : 10,9 mg/L (72 h)		Inhibición del crecimiento	2013
		EC ₁₀ : 10,9 mg/L (72 h) EC ₂₀ : 20,6 mg/L (72 h)	P. subcapitata		
	Norfloxacino	EC ₅₀ : >80 mg/L (72 h)	- · · · · · · · · · · · · · · · · · · ·		
		LC ₅₀ : 29,88 mg/L (24 h)	Brachionus calyciflorus	Mortalidad	-
					Santos et al, 2010
		EC ₅₀ : 10,4 mg/L (-)	Chlorella vulgaris		
		EC ₅₀ : 10,4 mg/L (-) EC ₅₀ : 16,6 mg/L (-)	Selenastrum	Inhibición del crecimiento	Santos et al, 2010
		EC ₅₀ : 16,6 mg/L (-)	Selenastrum capricornutum		Santos et al, 2010
		EC ₅₀ : 16,6 mg/L (-) EC ₅₀ : 126 μg/L (7 d)	Selenastrum capricornutum L. minor	Sobre la reproducción Sobre el crecimiento y la	-
	Ofloxacino	EC ₅₀ : 16,6 mg/L (-) EC ₅₀ : 126 μg/L (7 d) EC ₅₀ : 21 μg/L (5 d) EC ₅₀ : 12,1 mg/L (3 d)	Selenastrum capricornutum	Sobre la reproducción	-
	Ofloxacino	EC ₅₀ : 16,6 mg/L (-) EC ₅₀ : 126 μg/L (7 d) EC ₅₀ : 21 μg/L (5 d) EC ₅₀ : 12,1 mg/L (3 d) EC ₅₀ : 0,53 mg/L (48 h)	Selenastrum capricornutum L. minor M. aeruginosa	Sobre la reproducción Sobre el crecimiento y la reproducción	-
	Ofloxacino	EC ₅₀ : 16,6 mg/L (-) EC ₅₀ : 126 μg/L (7 d) EC ₅₀ : 21 μg/L (5 d) EC ₅₀ : 12,1 mg/L (3 d) EC ₅₀ : 0,53 mg/L (48 h) EC ₅₀ : 17,41 mg/L (24 h)	Selenastrum capricornutum L. minor M. aeruginosa P. subcapitata Brachionus calyciflorus	Sobre la reproducción Sobre el crecimiento y la	-
	Ofloxacino	EC ₅₀ : 16,6 mg/L (-) EC ₅₀ : 126 μg/L (7 d) EC ₅₀ : 21 μg/L (5 d) EC ₅₀ : 12,1 mg/L (3 d) EC ₅₀ : 0,53 mg/L (48 h) EC ₅₀ : 17,41 mg/L (24 h) EC ₅₀ : 3,13 mg/L (7 d)	Selenastrum capricornutum L. minor M. aeruginosa P. subcapitata Brachionus calyciflorus Ceriodaphnia dubia	Sobre la reproducción Sobre el crecimiento y la reproducción	-
	Ofloxacino Ofloxacino	EC ₅₀ : 16,6 mg/L (-) EC ₅₀ : 126 μg/L (7 d) EC ₅₀ : 21 μg/L (5 d) EC ₅₀ : 12,1 mg/L (3 d) EC ₅₀ : 0,53 mg/L (48 h) EC ₅₀ : 17,41 mg/L (24 h)	Selenastrum capricornutum L. minor M. aeruginosa P. subcapitata Brachionus calyciflorus	Sobre la reproducción Sobre el crecimiento y la reproducción Inhibición del crecimiento	Robinson et al, 200:

		EC ₁₀ : 5 μg/L (72 h)	Anghama CDD 1227		
		EC ₂₀ : 9 μg/L (72 h) EC ₅₀ : 22 μg/L (72 h)	Anabaena CPB4337	 Inhibición del crecimiento 	González-Pleiter et al,
		EC ₁₀ : 36 μg/L (72 h) EC ₂₀ : 82 μg/L (72 h) EC ₅₀ : 350 μg/L (72 h)	P. subcapitata		2013
		EC ₅₀ : 0,94 mg/L (-) LC ₅₀ : 27,53 mg/L (24 h)	B. calyciflorus	Inhibición del crecimiento Mortalidad	
	Eritromicina	EC ₅₀ : 10,23 mg/L (24 h)	C 11:	Inmovilización	•
		EC ₅₀ : 0,22 mg/L (7 d)	C. dubia	- Inhibición del crecimiento	•
		EC ₅₀ : 33,8 mg/L (-)	C. vulgaris		G 1 2010
		EC ₅₀ : 22,45 mg/L (24 h)	D. magma	Inmovilización	Santos et al, 2010
Macrólidos		EC ₅₀ : 5,62 mg/L (7 d) LC ₅₀ : >100 mg/L (96 h)	L. minor O. latipes	Inhibición del crecimiento Mortalidad	•
Macionuos		EC ₅₀ : >100 mg/L (96 h) EC ₅₀ : 0,02 mg/L (72 h)	P. subcapitata	Mortandad	•
		EC ₅₀ : 36,6 μg/L (-)	S. capricornutum	 Inhibición del crecimiento 	
		LC ₅₀ : 17,68 mg/L (24 h)	T. platyurus	Mortalidad	•
		EC ₅₀ : 0,29 mg/L (1 d)	François		
			M. aeruginosa		van der Grinten et al,
		EC ₅₀ : 0,034 mg/L (7 d)		_ Inhibición de la fotosíntesis	2010
		EC ₅₀ : 0,0089 mg/L (1 d)	P. subcapitata		2010
	Tilosina	EC ₅₀ : 0,21-1,38 mg/L (3 d) LOEC: 700 mg/L (24 h)			
		EC ₅₀ : 680 mg/L (-)	D. magna	Inmovilización	
		EC ₅₀ : 080 filg/L (-) EC ₅₀ : 0,411 mg/L (-)		Inhibición del crecimiento	Santos et al, 2010
		EC ₅₀ : 1,38 mg/L (-)	S. capricornutum	inimolelon del electimento	Samos et al, 2010
		EC ₅₀ : 0,034 mg/L (-)	M. aeruginosa	 Frecuencia del crecimiento 	
		EC ₅₀ : 375,3 mg/L (48 h)		Inmovilización	
		EC ₅₀ : 233,5 mg/L (96 h)	D. magna	Inmovilización	•
		EC ₅₀ : 2,33 mg/L (-)	L. minor	Decoloración verde	Santos et al, 2010
	Sulfactoro-	LC ₅₀ : 589,3 mg/L (48 h)	0.1	36 - 21 1	·
	piridazina	LC ₅₀ : 535,7 mg/L (96 h)	O. latipes	Mortalidad	D: 11 D: 1: 1 1
		EC ₅₀ : 26, 4 mg/L (15 min)	Vibrio fischeri	Inhibición de la luminiscencia	Bialk-Bielinska et al, 2011
	Sulfadimetoxina	EC ₅₀ : 0,248 mg/L (-)	Lemna gibba	- Inhibición del crecimiento	Bialk-Bielinska et al,
		EC ₅₀ : 18,3 μg/L (-)	L. minor V. fischeri	Inhibición de la luminiscencia	2011
		EC ₅₀ : >500 mg/L (15 min) EC ₅₀ : 11,2 mg/L	V. Jischeri C. vulgaris	Inhibición del crecimiento	
		EC ₅₀ : 248 mg/L (48 h)	C. vuigaris	illinoicion dei crecimiento	•
		EC ₅₀ : 204,5 mg/L (96 h)	D. magna	- Inmovilización	Santos et al, 2010
		EC ₅₀ : 296,6 mg/L (24 h)			
		EC ₅₀ : 183,9 mg/L (48 h)	М. тасгосора		
		EC ₅₀ : 1,277 mg/L (-)	L. gibba	Inhibición del crecimiento	Bialk-Bielinska et al,
	Sulfametazina	EC ₅₀ : 344,7 mg/L (15 min)	V.fischeri	Inhibición de la luminiscencia	2011
		NOEC: 1,56 mg/L (21 d) LOEC: 3, 13 mg/L (21 d)		Reproducción	_
		EC ₅₀ : 4,25 mg/L (21 d)	D. magna	- Inmovilianción	
Sulfamidas		EC ₅₀ : 174,4 mg/L (48 h) EC ₅₀ : 158,8 mg/L (96 h)		Inmovilización	Santos et al, 2010
Sunamuas		EC ₅₀ : 310,9 mg/L (24 h)		_	
		EC ₅₀ : 110,7 mg/L (48 h)	М. тасгосора		
		LC ₅₀ : >100 mg/L (96 h)	O. latipes	Mortalidad	•
		EC ₅₀ : 0,081 mg/L (-)	L. gibba	Inhibición del crecimiento	D: 11 D: 1: 1 4 1
	Sulfametoxazol				Bialk-Bielinska et al, 2011
		EC ₅₀ : 78, 1 mg/L (15 min)	V.fischeri	Inhibición de la luminiscencia	
		EC ₅₀ : 0,55 mg/L (1 d)	M. aeruginosa	_	
		EC ₅₀ : >9 mg/L (1 d)		Inhibición de la fotosíntesis	van der Grinten et al,
		EC ₅₀ : 0,52-1,9 mg/L (3 d)	P. subcapitata		2010
		EC ₅₀ : 0,146 mg/L (4 d)		X 1 9 1 1 1 1 1 1 1 1 1 1 1 1 1 1 1 1 1	
		EC ₅₀ : 9,63 mg/L (48 h)	B. calyciflorus	Inhibición del crecimiento Mortalidad	•
		LC ₅₀ : 26,27 mg/L (24 h)		Mortalidad	
			- C dubia		-
	Sulfametoxazol	EC ₅₀ : 15,51 mg/L (24 h)	C. dubia	Inmovilización Inhibición del crecimiento	•
	Sulfametoxazol	EC ₅₀ : 15,51 mg/L (24 h) EC ₅₀ : 0,21 mg/L (7 d)	C. dubia	Inmovilización Inhibición del crecimiento	Contract of 2010
	Sulfametoxazol	EC ₅₀ : 15,51 mg/L (24 h) EC ₅₀ : 0,21 mg/L (7 d) EC ₅₀ : 189,2 mg/L (48 h)	C. dubia D. magna		Santos et al, 2010
	Sulfametoxazol	EC ₅₀ : 15,51 mg/L (24 h) EC ₅₀ : 0,21 mg/L (7 d) EC ₅₀ : 189,2 mg/L (48 h) EC ₅₀ : 177,3 mg/L (96 h) NOEC: 5 mg/L (96 h)	D. magna	Inhibición del crecimiento Inmovilización	Santos et al, 2010
	Sulfametoxazol	EC ₅₀ : 15,51 mg/L (24 h) EC ₅₀ : 0,21 mg/L (7 d) EC ₅₀ : 189,2 mg/L (48 h) EC ₅₀ : 177,3 mg/L (96 h)		Inhibición del crecimiento	Santos et al, 2010

-	T	EC ₅₀ : 1,53 mg/L (-)	S. capricornutum		
		EC ₅₀ : 23,3 mg/L (30 min)	V. fischeri	Inhibición de la luminiscencia	•
		LC ₅₀ : 870,47 mg/L (24 h)	Artemia	Mortalidad	
		LC ₅₀ : 805,99 mg/L (48 h)	parthenogenética	Mortalidad	
		NOEC: 3,6 mg/L (-) LOEC: 5,3 mg/L (-) IC ₅₀ : 13, 16 mg/L (72 h)	Tetraselmis chuii	Reducción del crecimiento	Ferreira et al, 2007
		IC ₅₀ : 11, 18 mg/L (96 h)			
	Oxitetraciclina	EC ₅₀ : 5,4 mg/L (1 d) EC ₅₀ : 0,23 mg/L (7 d)	M. aeruginosa	 Inhibición de la fotosíntesis 	Van der Grinten et al,
		EC ₅₀ : 0,6 mg/L (1 d) EC ₅₀ : 0,17-0,34 mg/L (3 d)	P. subcapitata	— Innibición de la fotosintesis	2010
Tetraciclina		EC ₅₀ : 1,87 mg/L (48 h) LC ₅₀ : 34,21 mg/L (24 h)	B. calyciflorus	Inhibición del crecimiento Mortalidad	
		EC ₅₀ : 0,18 mg/L (7d)	G 1.1.	Inhibición del crecimiento	Santos et al, 2010
		EC ₅₀ : 18,65 mg/L (24 h)	C. dubia	Inmovilización	
		EC ₅₀ : 7,05 mg/L (-)	C. vulgaris	Inhibición del crecimiento	
		EC ₅₀ : 22,64 mg/L (24 h)	D. magna	Inmovilización	Santos et al, 2010
	Oxitetraciclina	EC ₅₀ : 46,2 mg/L (21 d)		Reproducción	
		NOEC: 50 mg/L (96 h) LOEC: 100 mg/L (96 h) EC ₅₀ : 40,13 mg/L (96 h)	H. attenuata	Morfología	
		EC ₅₀ : 4,92 mg/L (-)	L. minor	Decoloración verde	•
		EC ₅₀ : 0,207 mg/L (72 h)	M. aeruginosa		_
		EC ₅₀ : 4,5 mg/L (72 h)	S. capricornutum	 Inhibición del crecimiento 	
		EC ₅₀ : 6,9 mg/L (1 d) EC ₅₀ : 112-150 mg/L (7 d)	M. aeruginosa		van der Grinten et al,
		EC ₅₀ : >9 mg/L (1 d) EC ₅₀ : 40-130 mg/L (3 d)	P. subcapitata	 Inhibición de la fotosíntesis 	2010
		EC ₅₀ : 155,6 mg/L (24 h) EC ₅₀ : 92 mg/L (48 h)		Inmovilización	
Otros	Trimetoprim	NOEC: 6 mg/L (21 d) LOEC: 20 mg/L (21 d) EC ₅₀ : 44,8 mg/L (21 d)	D. magna	Reproducción	
		EC ₅₀ : 1,06 mg/L (7 d)	L. minor	Inhibición del crecimiento	Santos et al, 2010
		EC ₅₀ : 0,09 mg/L (-)	M. aeruginosa	Frecuencia del crecimiento	•
		EC ₅₀ : 16 mg/L (72 h)	R. salina	Inhibición del crecimiento	•
		EC ₅₀ : 2,2 mg/L (-)	C a america amerita :	Frecuencia del crecimiento	•
		EC ₅₀ : 130 mg/L (72 h)	S. capricornutum	Inhibición del crecimiento	·

 EC_{10} : Concentración que produce efecto en el 10% de la población; EC_{20} : Concentración que produce efecto en el 20% de la población; EC_{50} : Concentración que inhibe el crecimiento del 50% de la población; LC_{50} : Concentración que inhibe el crecimiento del 50% de la población; LC_{50} : Concentración que produce mortalidad en el 50% de la población; LC_{50} : Concentración mínima con efecto observable; NOEC: Concentración máxima sin efecto observable.

sulfamidas y las tetraciclinas (Liu et al, 2009). Por otra parte, también se han observado efectos positivos de los antibióticos ya que producen en determinados casos crecimiento de algunas especies agrícolas al reducir los patógenos presentes en el suelo, como en el caso del rábano (*R. sativus*), el maíz (*Zea mays*) y el trigo (*Triticum aestivum*) (Kumar et al, 2005).

Por otra parte, algunos antibióticos, como la tetraciclina y la clortetraciclina, pueden causar genotoxicidad en especies terrestres como los gusanos de tierra (*E. foetida*), afectando severamente su ADN a concentraciones de 30 mg/Kg (Dong et al, 2012; Khadra et al, 2012). Las fluorquinolonas presentan genotoxicidad en algunas especies produciendo apoptosis o ruptura de las cadenas de ADN, daño cromosómico o formación de micronúcleos. Estos efectos se han visto en la especie *Cricetulus barabensis* (hámster chino) que presentó formación de micronúcleos y efectos citotóxicos, y en *V. faba* (haba) con daños cromosómicos (Khadra et al, 2012).

Conclusiones

Los residuos de los medicamentos son un problema medioambiental, ya que no se eliminan completamente en las EDAR y llegan al medio acuático a través de sus efluentes, sus lodos o como residuos de los desechos de granjas o piscifactorías. Además, algunos residuos de medicamentos no son degradables o se transforman en productos derivados más tóxicos. Los efectos tóxicos de los residuos de los medicamentos afectan a los diferentes niveles de los ecosistemas y más

a las especies acuáticas que terrestres, debido a la mayor biodisponibilidad de estos compuestos en el medio acuático. Los efectos adversos principalmente dependen de las condiciones ambientales (pH y temperatura), del tipo de medicamento, la concentración y el tiempo de exposición. Por tanto, debido al riesgo potencial que supone la presencia de residuos de medicamentos en el medio ambiente, son necesarios más estudios para poder evaluar adecuadamente el riesgo medioambiental, y gestionar medidas correctas y de mitigación de estos residuos de forma adecuada.

Bibliografía

Abreu, M. S., Koakosko, G., Ferreira, D., Acosta Oliveira, T., Santos de Rosa, J. G., Gusso, D., Varrone Giacomini, A. C., Piato, A. L. & Gil Barcellos, L. J. (2014). Diazepam and Fluoxetine Decrease the Stress Response in Zebrafish. PLOS ONE, Volume 9, Issue 7.

Aris, A. Z., Shamsuddin, A. S. & Praveena, S. M. (2014). Ocurrence of 17α-ethynylestradiol (EE2) in the environment and effect of exposed biota: a review. Environ. Int. 69, 104-119.

Arnold, K. E., Brown, A. R., Ankley. G. T. & Sumpter. J. P. (2014). Medicating the environment: assessing risks of pharmaceuticals to wildlife and ecosystems. Philos. Trans. R. Soc. Lond. B. Biol. Sci. 369: 2013569.

- Bialk- Bielinska, A., Stolte, S., Arning, J., Uebers, U., Boschen, A., Stepnowski, P. & Matzke, M. (2011). Ecotoxicity evaluation of selected sulfonamides. Chemosphere 85, 928-933.
- Cabello, F. C. (2006). Heavy use of prophylactic antibiotics in aquaculture: a growing problem for human and animal health and for environment. Environ. Microbiol. 8, 1137-1144.
- Caldwell, D. J., Mastrocco, F., Anderson, P. D., Lange, R. & Sumpter, J. P. (2012). Predicted-no-effect concentrations for the steroid estrogens estrone, 17b-estradiol, estriol, and 17aethinylestradiol. Environ. Toxicol. Chem. 31, 1396-1406.
- Caliman, F. A. & Gavrilescu, M. (2009). Pharmaceuticals, personal care products and endocrine disruptin agents in the environment- A review. Clean 37, 277-303.
- Carter, L. J., Garman, C. D., Ryan, J., Dowle, A., Bergström, E., Thomas-Oates, J. & Boxall, A. B. A. (2014). Fate and uptake of pharmaceuticals in soil-earthworm systems. Environ. Sci. Technol. 48, 5955-5963.
- Carter, L. J., Williams, M., Böttcher., C. & Kookana, R. S. (2015). Uptake of pharmaceuticals influences plants development and affects nutrient and hormone homeostases. Environ. Sci. Technol. 49, 12509-12518.
- Christen, V., Hickman, S., Rechenber, B. & Fent, K. (2009). Highly active human pharmaceuticals in aquatic systems: A concept for their identification based on their mode of action. Aquat. Toxicol. 96, 167-181.
- Corcoran, J., Winter, M. J & Tyler, C. R. (2010). Pharmaceuticals in the aquatic environment: A critical review of the evidence for health effects in fish. Crit. Rev. Toxicol. 40, 287-304
- De Mes, T., Zeeman, G. & Lettinga, G. (2005). Ocurrence and fate of estrone, 17β-estradiol and 17α-ethynylestradiol in STPs for domestic wastewater. Rev. Environ. Sci. Technol. 4, 275-311.
- Di Poi, C., Evariste, L. & Serpentini, A. (2014). Toxicity of five antidepressant drugs on embryo-larval development and metamorphosis success in the Pacific oyster, Crassostrea gigas. Environ. Sci. Poll. Res. 21, 13302-13314.
- Dong, L., Gao, J., Xie, X. & Zhou, Q. (2012). DNA damage and biochemical toxicity of antibiotics in soil on the earthworm Eisfenia foetida. Chemosphere 89, 44-51.
- Donner, E., Kosjek, T., Qualmann, S., Kusk, K. O., Heath, E., Revitt, D. M., Ledin, A. & Andersen, H. R. (2013). Ecotoxicity of carbamazepine and its UV photolysis transformation products. Sci. Total Environ. 443, 870-876.
- Fan, Z., Casey, F. X.M., Hakk, H. & Larsen, G. L. (2007). Persistence and fate of 17β -estradiol and testosterone in agricultural soils. Chemosphere 67,886-895.
- Fent, K., Wetson, A. A. & Caminada, D. (2006). Ecotoxicology of human pharmaceuticals. Aquat. Toxicol. 76, 122-159.
- Ferreira, C. S. G., Nunes, B. A., Henriques-Almeida, J. M. M. & Guilhermino, L. (2007). Acute toxicity of oxitetracycline and florfenicol to the microalge Tetraselmis chuii and to the crustacean Artemia phartenogenetica. Ecotoxicol. Environ. Saf. 67, 452-458.
- Finley, R. L., Collignon, P., Joakim Lanson, D. G., McEwen, S. A., Li, X-Z., Gaze, W. H., Reid-Smith, R., Timinouni, M., Graham, D. W. & Topp, E. (2013). The scourge of antibiotic resistance: The important role of the environment. Clin. Infect. Dis. 57, 704-710.
- Giusti, A., Ducrot, V., Joaquim-Justo, C. & Lagadic, L. (2013).

- Testosterone levels and fecundity in hermaphroditic aquatic snail Lymnaea stagnalis exposed to testosterone and endocrine disruptors. Environ. Toxicol. Chem. 32, 1740-1745.
- Giusti, A., Lagadic, L., Barsi, A., Thomé, J. P., Joaquim- Justo, C. & Ducrot, V. (2014). Investigating apical adverse effects of four endocrine active substances in the freshwater gastropod Lymnaea stagnalis. Sci. Total Environ. 493, 147-155.
- González-Pleiter, M., Gonzalo, S., Rodea-Palomares, I., Leganés, F., Rosal, R., Boltes, K., Marco, E. & Fernandez-Piñas, F. (2013). Toxicity of five antibiotics and their mixtures towards photosynthetic aquatic organisms: Implications for environmental risk assessment. Water Res. 47, 2050-2064.
- Gottschall, N., Topp, E., Metcalfe, C., Edwards, M., Payne, M., Kleywegt, S., Rusell, P. & Lapen. D. R. (2012). Pharmaceuticals and personal care products in groundwater, subsurface drainage, soil, and wheat grain, following a single application of municipals biosolids to a field. Chemosphere 87: 194-203.
- Khadra, A., Pinelli, E., Lacroix, M. Z., Bousquet-Melou, A., Hamdi, H., Merlina, G., Guiresse, M. & Hafidi, M. (2012). Assessment of the genotoxicity of quinolone and fluoroquinolones contaminated soil with the Vicia faba micronucleus test. Ecotoxicol. Environ. Saf. 76, 187-192.
- Kemper, N. (2008). Veterinary antibiotics in the aquatic and terrestrial environment. Ecol. Indic. 8, 1-13.
- Kumar, K., Gupta, S. C., Chander, Y. & Singh, A. K. (2005). Antibiotic use in agriculture and its impact on the terrestrial environment. Advan. Agron. 87, 1-54
- Kummerer, K. (2004). Pharmaceuticals in the environment. Sourcers, Fate, Effects and Risks. 2nd ed. New York; 2004.
- Leblanc, G. A., Gooding, M. P. & Stenberg, R. M. (2005). Testosterone- fatty acid esterification: A unique target for the endocrine toxicity of tributyltin to gastropods. Integr. Comp. Biol. 45, 81-87.
- Liu, F., Ying, G-G., Tao, R., Zhao, J-L., Yhang, J-F. & Zhao, L-F. (2009). Effects of six selected antibiotics on plant growth and soil microbial and enzymatic activities. Environ. Poll. 157, 1636-1642.
- Marjani, M., Jamili, S. & Mostafavi, P. G. (2009). Influence of 17-Alpha Methyl Testosterone on masculinization and growth in tilapia (Oreochromis mossambicus). J. Fish. Aquat. Sci. 4, 71-74.
- Martinez, J. L. (2009). Environmental pollution by antibiotics and by antibiotic resistance determinants. Environ. Poll. 157, 2893-2902.
- Minguez, L., Di Poi, C., Farcy, E., Ballandonne, C., Benchouala, A., Bojic, C., Cossu-Leguille, C., Costil, K., Serpentini, A., Lebel, J-M. & Halm-Lemeille, M-P. (2014). Comparison of the sensitivity of seven marine and fresh water bioassays as regard antidepressant toxicity assessment. Ecotoxicol. 23, 1744-1754.
- Monteiro, S. C. & Boxall, A. B. A. (2009). Factors affecting the degradation of pharmaceuticals in agricultural soils. Environ. Toxicol. Chem. 28, 2546-2554.
- Nikolaou, A., Meric, S. & Fatta, D. (2007). Ocurrence patterns of pharmaceuticals in water and wastewater environments. Anal. Bioanal. Chem. 387, 1225-1234.
- Oakes, K. D., Coors, A., Escher, B. I., Fenner, K., Garric, J., Gust, M., Knacker, T., Küster, A., Kussatz, C., Metcalfe, C. D., et al. (2010). Environmental risk assessment for the serotonin reuptake inhibitor fluoxetine: Case study using the European risk

- assessment framework. Integr. Environ. Assess. Manag. 6, 524-539.
- Oliveira, M., Cardoso, D. N., Soares, A. M. V. M. & Loureiro, S. (2015). Effects of short-term exposure to fluoxetine and carbamazepine to the Collembolan Folsomia candida. Chemosphere 120, 86-91.
- Orlando, E. F. & Guillete, L. J. Jr. (2007). Sexual dimorphic responses in wildlife exposed to endocrine disrupting chemicals. Environ. Res. 104, 163-173.
- Pal, A., Yew-Hoong Gin, K., Yu-Chen Lin, A. & Reinhard, M. (2010). Impacts of emerging organic contaminants on freshwater resources. Review of recent occurrences, sources, fate and effects. Sci. Total Environ. 408, 6062-6069.
- Pino, M. R., Val, J., Mainar, A. M., Zuriaga, E., Español, C & Langa, E (2015). Acute toxicological effects on the earthworm Eisenia foetida of 18 common pharmaceuticals in artificial soil. Sci. Total Environ. 518-519, 225-337.
- Robinson, A. A., Belden, J. B. & Lydy, M. J. (2005). Toxicity of fluorquinolone antibiotics to aquatic organisms. Environ. Toxicol. Chem. 24, 423-430.
- Ruiz, M. J. & Font, G. (2011). Ecotoxicological Effects of Pharmaceuticals in the Environment. En: Ecotoxicology around the globe. Visser, JE (ed): Nova Science Publishers, Inc., pp 227-246
- Santos, H. L., Araujo, A. N., Fachini, A., Pena, A., Delerue-Matos, C. & Montenegro, M. C. (2010). Ecotoloxical aspects related to the presence of pharmaceuticals in the aquatic environment. J. Hazard. Mater. 175, 45-49.

- Sarmah, A. K., Meyer, M. T. & Boxall, A. B. A. (2006). A global perspective on the use, sales exposure pathways, occurrence, fate and effects of veterinary antibiotics (VAs) in the environment. Chemosphere 65, 725-759.
- Schmidt, W & Redshaw, C. H. (2015). Evaluation of biological endpoint in crop plants after exposure to non-steroidal anti-inflammatory drugs (NSAIDs): Implication for phytotoxicological assessment of novel contaminants. Ecotoxicol. Environ. Saf. 112, 212-222.
- Silva, L. J. G., Lino, C. M., Meisel, L. M. & Pena, A. (2012). Selective serotonin re-uptake (SSRIs) in the aquatic environment: An ecopharmacovigilance approach. Sci. Total Environ. 437, 185-195.
- Thiele-Bruhn, S. & Beck, I-C. (2005). Effects of sulfonamide and tetracycline antibiotics on soil microbial activity and microbial biomass. Chemosphere 59, 457-465.
- Van der Grinten, E., Pikkemaat, M. G., Van der Brandhof, E- J., Stroomber, G. J. & Kraak, M. H. S. (2010). Comparing the sensitivity of algal, cyanobacterial and bacterial bioassays to different group of antibiotics. Chemosphere 80, 1-6.
- Vogt, S. (2007). Exposure of the eggs to 17 α- methyl testosterone reduced hatching success and growth and elicited teratogenic effects in postembryonic life stages of crayfish. Aquat. Toxicol. 85, 291-296.
- Zucatto, E., Castiglioni, S., Fanelli, R., Reitano, G., Bagnati, R., Chiabrando, C., Pomati, F., Rossetti, C. & Calamari, D. (2006). Pharmaceuticals in the environment in Italy: Causes, Ocurrence, Effects and Control- A rewiev. Environ. Sci. Poll. Res. 13, 15-21